

FLUMilog

Interface graphique v.5.6.1.0

Outil de calculV5.61

Flux Thermiques Détermination des distances d'effets

| | |
|--|---|
| Utilisateur : | |
| Société : | |
| Nom du Projet : | Fosse_Actuelle_Projet_OMR_13_5_Monocompo_V2_Merlon |
| Cellule : | |
| Commentaire : | |
| Création du fichier de données d'entrée : | 04/07/2024 à 17:50:16 avec l'interface graphique v. 5.6.1.0 |
| Date de création du fichier de résultats : | 4/7/24 |

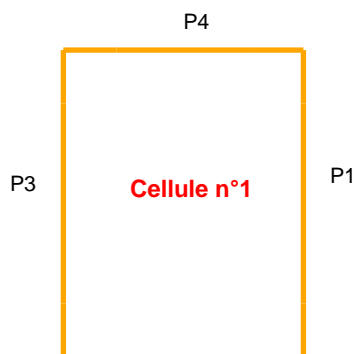
I. DONNEES D'ENTREE :**Donnée Cible**Hauteur de la cible : **13.5 m****Géométrie Cellule1**

| Nom de la Cellule :Cellule n°1 | | | | |
|------------------------------------|--------------------|-------------|------------|--|
| Longueur maximum de la cellule (m) | | 32.0 | | |
| Largeur maximum de la cellule (m) | | 17.0 | | |
| Hauteur maximum de la cellule (m) | | 40.0 | | |
| Coin 1 | non tronqué | L1 (m) | 0.0 | |
| | | L2 (m) | 0.0 | |
| Coin 2 | non tronqué | L1 (m) | 0.0 | |
| | | L2 (m) | 0.0 | |
| Coin 3 | non tronqué | L1 (m) | 0.0 | |
| | | L2 (m) | 0.0 | |
| Coin 4 | non tronqué | L1 (m) | 0.0 | |
| | | L2 (m) | 0.0 | |
| Hauteur complexe | | | | |
| | 1 | 2 | 3 | |
| L (m) | 0.0 | 0.0 | 0.0 | |
| H (m) | 0.0 | 0.0 | 0.0 | |
| H sto (m) | 0.0 | 0.0 | 0.0 | |

**Toiture**

| | |
|-------------------------------------|------------------------------|
| Résistance au feu des poutres (min) | 15 |
| Résistance au feu des pannes (min) | 15 |
| Matériaux constituant la couverture | metalique simple peau |
| Nombre d'exutoires | 2 |
| Longueur des exutoires (m) | 3.0 |
| Largeur des exutoires (m) | 2.0 |

Parois de la cellule : Cellule n°1



| | Paroi P1 | Paroi P2 | Paroi P3 | Paroi P4 |
|--|--------------------------------|--------------------------------|--------------------------------|--------------------------------|
| Composantes de la Paroi | Multicomposante | Multicomposante | Multicomposante | Multicomposante |
| Structure Support | Autostable | Autostable | Autostable | Autostable |
| Nombre de Portes de quais | 0 | 0 | 0 | 0 |
| Largeur des portes (m) | 0.0 | 0.0 | 0.0 | 0.0 |
| Hauteur des portes (m) | 4.0 | 0.0 | 0.0 | 0.0 |
| | <i>Partie en haut à gauche</i> | <i>Partie en haut à gauche</i> | <i>Partie en haut à gauche</i> | <i>Partie en haut à gauche</i> |
| Matériau | bardage simple peau | bardage simple peau | bardage simple peau | bardage simple peau |
| R(i) : Résistance Structure(min) | 1 | 1 | 15 | 1 |
| E(i) : Etanchéité aux gaz (min) | 1 | 1 | 15 | 1 |
| I(i) : Critère d'isolation de paroi (min) | 1 | 1 | 15 | 1 |
| Y(i) : Résistance des Fixations (min) | 1 | 1 | 15 | 1 |
| Largeur (m) | 16.0 | 8.5 | 16.0 | 8.5 |
| Hauteur (m) | 28.0 | 31.0 | 4.0 | 21.0 |
| | <i>Partie en haut à droite</i> | <i>Partie en haut à droite</i> | <i>Partie en haut à droite</i> | <i>Partie en haut à droite</i> |
| Matériau | bardage simple peau | bardage simple peau | bardage simple peau | bardage simple peau |
| R(i) : Résistance Structure(min) | 1 | 1 | 15 | 1 |
| E(i) : Etanchéité aux gaz (min) | 1 | 1 | 15 | 1 |
| I(i) : Critère d'isolation de paroi (min) | 1 | 1 | 15 | 1 |
| Y(i) : Résistance des Fixations (min) | 1 | 1 | 15 | 1 |
| Largeur (m) | 16.0 | 8.5 | 16.0 | 8.5 |
| Hauteur (m) | 28.0 | 31.0 | 4.0 | 21.0 |
| | <i>Partie en bas à gauche</i> | <i>Partie en bas à gauche</i> | <i>Partie en bas à gauche</i> | <i>Partie en bas à gauche</i> |
| Matériau | Beton Arme/Cellulaire | Beton Arme/Cellulaire | Beton Arme/Cellulaire | Beton Arme/Cellulaire |
| R(i) : Résistance Structure(min) | 120 | 120 | 120 | 120 |
| E(i) : Etanchéité aux gaz (min) | 120 | 120 | 120 | 120 |
| I(i) : Critère d'isolation de paroi (min) | 120 | 120 | 120 | 120 |
| Y(i) : Résistance des Fixations (min) | 120 | 120 | 120 | 120 |
| Largeur (m) | 16.0 | 8.5 | 16.0 | 8.5 |
| Hauteur (m) | 12.0 | 9.0 | 36.0 | 19.0 |
| | <i>Partie en bas à droite</i> | <i>Partie en bas à droite</i> | <i>Partie en bas à droite</i> | <i>Partie en bas à droite</i> |
| Matériau | Beton Arme/Cellulaire | Beton Arme/Cellulaire | Beton Arme/Cellulaire | Beton Arme/Cellulaire |
| R(i) : Résistance Structure(min) | 120 | 120 | 120 | 120 |
| E(i) : Etanchéité aux gaz (min) | 120 | 120 | 120 | 120 |
| I(i) : Critère d'isolation de paroi (min) | 120 | 120 | 120 | 120 |
| Y(i) : Résistance des Fixations (min) | 120 | 120 | 120 | 120 |
| Largeur (m) | 16.0 | 8.5 | 16.0 | 8.5 |
| Hauteur (m) | 12.0 | 9.0 | 36.0 | 19.0 |

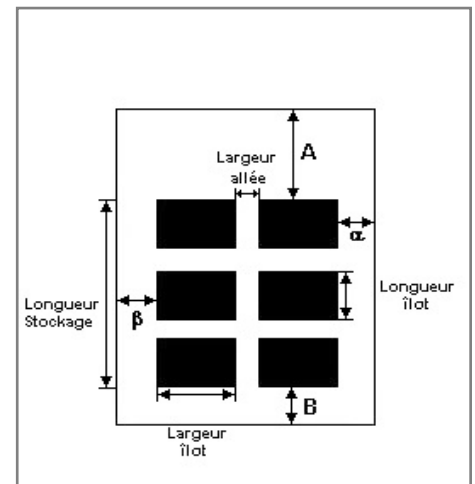
Stockage de la cellule : Cellule n°1

Mode de stockage

Masse

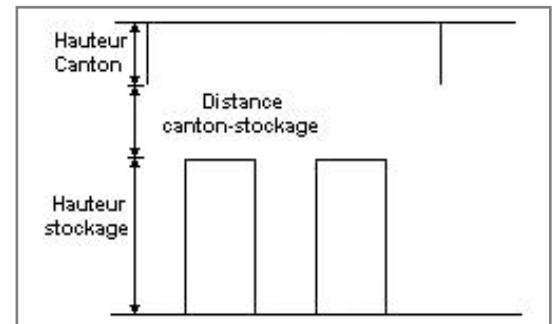
Dimensions

| | |
|---------------------------|-------|
| Longueur de préparation A | 0.0 m |
| Longueur de préparation B | 0.0 m |
| Déport latéral a | 0.0 m |
| Déport latéral b | 7.0 m |
| Hauteur du canton | 0.0 m |



Stockage en masse

| | |
|--|--------|
| Nombre d'îlots dans le sens de la longueur | 1 |
| Nombre d'îlots dans le sens de la largeur | 1 |
| Largeur des îlots | 10.0 m |
| Longueur des îlots | 32.0 m |
| Hauteur des îlots | 16.0 m |
| Largeur des allées entre îlots | 0.0 m |



Palette type de la cellule Cellule n°1

Dimensions Palette

| | |
|--------------------------|---------------------|
| Longueur de la palette : | 1.0 m |
| Largeur de la palette : | 1.0 m |
| Hauteur de la palette : | 16.0 m |
| Volume de la palette : | 16.0 m ³ |
| Nom de la palette : | OMR |

Poids total de la palette : 4800.0 kg

Composition de la Palette (Masse en kg)

| Bois | PE | Carton | Synthétique | Eau | Verre | Aluminium |
|--------|-------|--------|-------------|--------|-------|-----------|
| 1008.0 | 657.6 | 456.0 | 513.6 | 1771.2 | 158.4 | 235.2 |

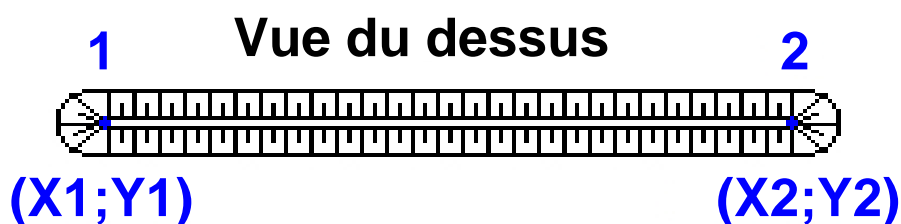
| | | | | | | |
|-----|-----|-----|-----|-----|-----|-----|
| NC | NC | NC | NC | NC | NC | NC |
| 0.0 | 0.0 | 0.0 | 0.0 | 0.0 | 0.0 | 0.0 |

| | | | |
|-----|-----|-----|-----|
| NC | NC | NC | NC |
| 0.0 | 0.0 | 0.0 | 0.0 |

Données supplémentaires

| | |
|-------------------------------------|-----------|
| Durée de combustion de la palette : | 52.0 min |
| Puissance dégagée par la palette : | 7852.3 kW |

Merlons



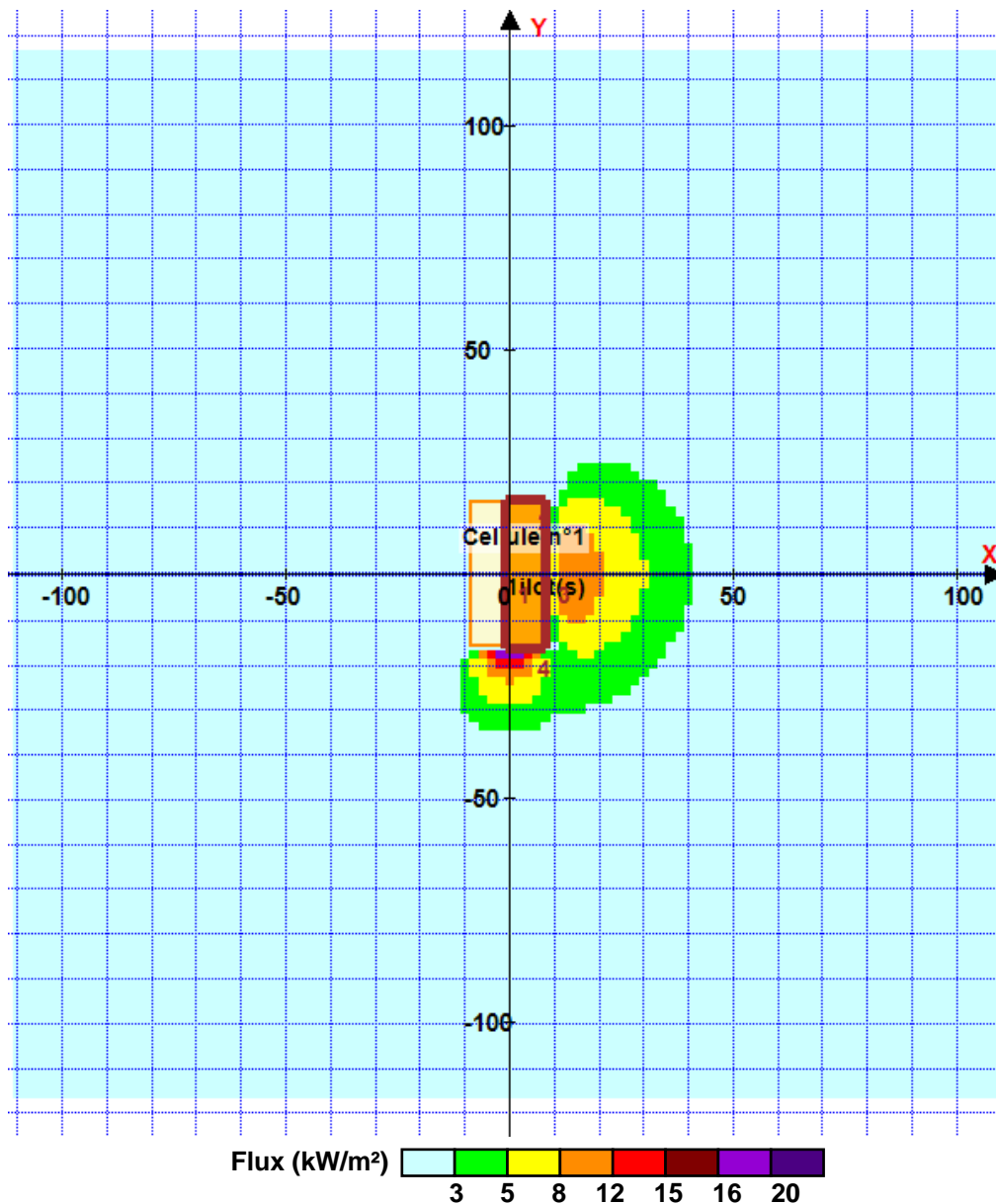
| Merlon n° | Hauteur (m) | Coordonnées du premier point | | Coordonnées du deuxième point | |
|-----------|-------------|------------------------------|--------|-------------------------------|--------|
| | | X1 (m) | Y1 (m) | X2 (m) | Y2 (m) |
| 1 | 9.0 | -1.0 | -16.5 | -1.0 | 16.5 |
| 2 | 9.0 | -1.0 | 16.5 | 8.0 | 16.5 |
| 3 | 9.0 | 8.0 | 16.5 | 8.0 | -16.5 |
| 4 | 9.0 | 8.0 | -16.5 | -1.0 | -16.5 |
| 5 | 0.0 | 0.0 | 0.0 | 0.0 | 0.0 |
| 6 | 0.0 | 0.0 | 0.0 | 0.0 | 0.0 |
| 7 | 0.0 | 0.0 | 0.0 | 0.0 | 0.0 |
| 8 | 0.0 | 0.0 | 0.0 | 0.0 | 0.0 |
| 9 | 0.0 | 0.0 | 0.0 | 0.0 | 0.0 |
| 10 | 0.0 | 0.0 | 0.0 | 0.0 | 0.0 |
| 11 | 0.0 | 0.0 | 0.0 | 0.0 | 0.0 |
| 12 | 0.0 | 0.0 | 0.0 | 0.0 | 0.0 |
| 13 | 0.0 | 0.0 | 0.0 | 0.0 | 0.0 |
| 14 | 0.0 | 0.0 | 0.0 | 0.0 | 0.0 |
| 15 | 0.0 | 0.0 | 0.0 | 0.0 | 0.0 |
| 16 | 0.0 | 0.0 | 0.0 | 0.0 | 0.0 |
| 17 | 0.0 | 0.0 | 0.0 | 0.0 | 0.0 |
| 18 | 0.0 | 0.0 | 0.0 | 0.0 | 0.0 |
| 19 | 0.0 | 0.0 | 0.0 | 0.0 | 0.0 |
| 20 | 0.0 | 0.0 | 0.0 | 0.0 | 0.0 |

II. RESULTATS :

Départ de l'incendie dans la cellule : **Cellule n°1**

Durée de l'incendie dans la cellule : Cellule n°1 **162.0** min

Distance d'effets des flux maximum



Pour information : Dans l'environnement proche de la flamme, le transfert convectif de chaleur ne peut être négligé. Il est donc préconisé pour de faibles distances d'effets comprises entre 1 et 5 m de retenir une distance d'effets de 5 m et pour celles comprises entre 6 m et 10 m de retenir 10 m.